



IA725 – Computação Gráfica I

Visibilidade

29/04/2008

Durand, capítulos 7 a 11

(<http://people.csail.mit.edu/fredo/THESE/vo.pdf>)

Möller, Real-time rendering, 2ª ed., A.K. Peters, 2002



Visão geral

- Definição do problema.
- Coerência espacial e temporal.
- Estruturas de dados espaciais.
 - Hierarquia de volumes limitantes.
 - *Quadtree, octree, k-d tree.*
 - *Árvore BSP.*
- Algoritmos de *visibility culling*.
 - *Backface culling.*
 - *View frustum culling.*
 - *Occlusion culling* e algoritmos baseados em portais.



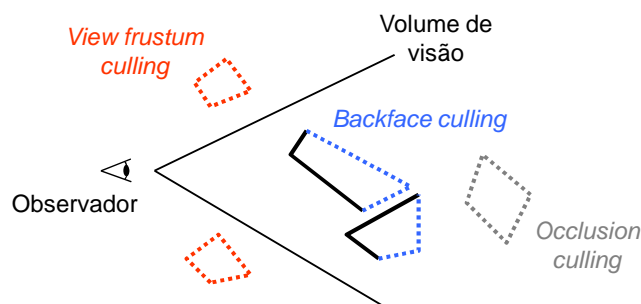
Introdução



- Considerando uma cena na qual podem ser desprezadas as interreflexões de luz especular entre os objetos, são 3 os motivos principais pelos quais as primitivas podem ser descartadas do processo de *rendering*:
 - Elas não estão “encarando” a câmera. Válido apenas para primitivas que compõem objetos fechados, tais como sólidos.
 - Elas estão fora do campo de visão.
 - Elas estão sendo escondidas por primitivas mais próximas do plano de projeção.



Introdução



- *Z-buffering* em *hardware* é geralmente utilizado sobre os resultados de algoritmos de *culling* para tratar as relações de visibilidade não resolvidas.



Introdução



- Quanto mais cedo ocorrer esse descarte no fluxo de *rendering*, melhor.
 - A complexidade deve ser “sensível à saída,” *i.e.*, proporcional ao número de primitivas visíveis.
 - *Z-buffer* não é um algoritmo de *culling*. A complexidade de tempo é linear no número de primitivas da cena.
 - Não é eficiente para tratar, por exemplo, o modelo de um Boeing-777 com 500.000.000 polígonos.
 - Em algoritmos de *visibility culling*, a complexidade de tempo deve ser sempre sub-linear.
 - Válido para cenas “densamente oclusas.”



Introdução



- Definição dos resultados obtidos por algoritmos de *visibility culling*, classificados segundo a acurácia dos resultados:
 - *EVS (Exact Visible Set)*: Conjunto de todos os modelos que contribuem para a formação da imagem, e apenas estes.
 - *PVS (Potentially Visible Set)*: Superestimativa do EVS. Contém o EVS e também modelos que não contribuem para a formação da imagem.
 - *Aproximado (Contribution Culling)*: Subestimativa do EVS. Alguns modelos do EVS podem não ser incluídos.



Introdução



- Classificação dos algoritmos de *visibility culling* pelo local de validade dos resultados computados.
 - *Visibility culling pontual.*
 - Resultados são computados com relação a um dado ponto de vista (possivelmente com campo de visão de 360 graus).
 - *Visibility culling regional.*
 - Resultados são computados com relação a regiões da cena. Consideram, assim, todos os possíveis pontos de vista em cada região.



Introdução



- Algoritmos de *visibility culling* exploram as coerências espacial e temporal presentes na cena.
- Coerência espacial.
 - Se um objeto não é visível para um dado ponto de vista, todos os objetos contidos dentro dele também não serão visíveis para o mesmo ponto de vista.
- Coerência temporal.
 - Os resultados de visibilidade do quadro de exibição atual geralmente são parecidos com os resultados do quadro anterior.



Estruturas de dados espaciais



- Estruturas de dados que organizam a geometria em um espaço n-dimensional, de acordo com a coerência espacial ou temporal.
- Tais estruturas podem ser utilizadas para acelerar consultas sobre a sobreposição de entidades geométricas.
 - Aceleração de testes de interseção.
 - Traçado de raios.
 - Detecção de colisão.
 - Algoritmos de culling.



Estruturas de dados espaciais



- São geralmente organizadas de forma hierárquica.
 - Estrutura aninhada e de natureza recursiva.
 - Já vimos o exemplo da árvore BSP!
- Diferentes tipos de consultas podem ser realizadas de forma muito mais eficiente. Geralmente de $O(n)$ para $O(\log n)$.
- Construção das estruturas é computacionalmente custosa.
 - Feita como pré-processamento.
 - Entretanto, são possíveis atualizações incrementais em tempo real.



Estruturas de dados espaciais



- Estruturas de hierarquia de volumes limitantes.
 - Esferas limitantes.
 - AABBs (*Axis-aligned Bounding Boxes*).
 - OBBs (*Oriented Bounding Boxes*).
 - k-DOPs.
- Estruturas de subdivisão espacial.
 - Subdividem o espaço da cena e a codificam em uma estrutura de dados.
 - Árvore BSP.
 - *Quadtree, octree*.



Volumes limitantes



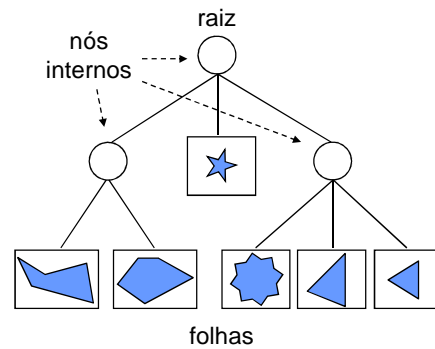
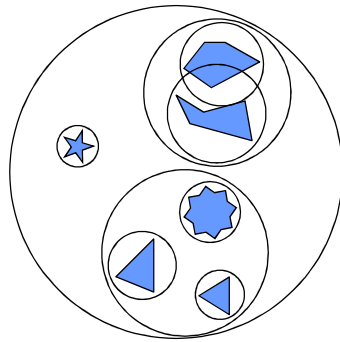
- Um volume limitante (BV – *Bounding Volume*) é um volume que contém um conjunto de objetos (geometria ou BVs).
 - Não contribui visualmente para a geração das imagens.
 - Geometria mais simples que a geometria contida nele.
- Hierarquia de volumes limitantes.
 - Organizada em uma árvore.
 - O nó raiz corresponde ao BV que inclui toda a cena.
 - Cada nó interno possui um BV que delimita a geometria (e BVs) de todos seus descendentes.
 - As folhas possuem um BV que delimita a geometria da cena, mas não outros BVs.



Volumes limitantes



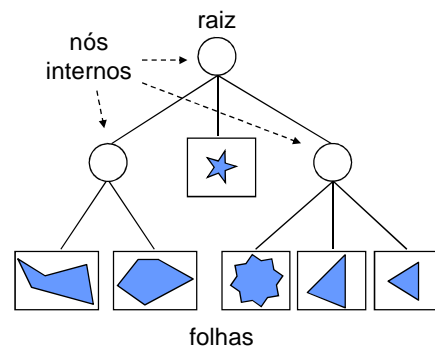
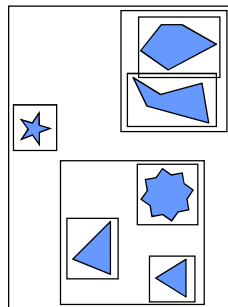
- Ilustração (em 2D) de uma hierarquia de esferas limitantes.



Volumes limitantes



- Ilustração (em 2D) de uma hierarquia de AABBs.

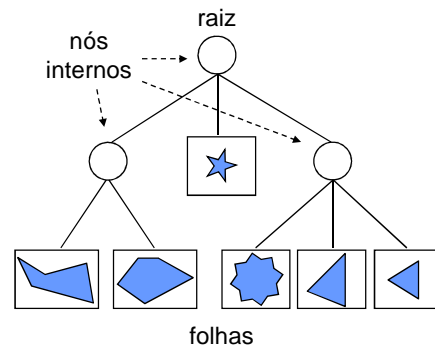
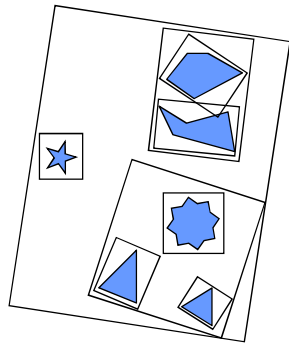




Volumes limitantes



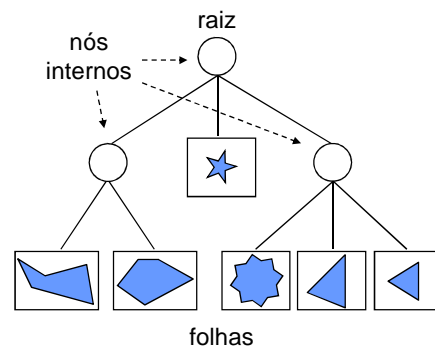
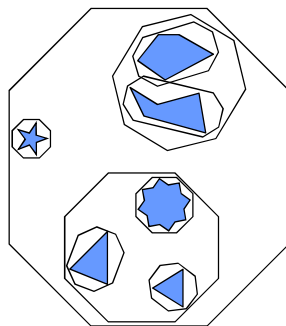
- Ilustração (em 2D) de uma hierarquia de OBBs.



Volumes limitantes



- Ilustração (em 2D) de uma hierarquia de 8-DOPs.

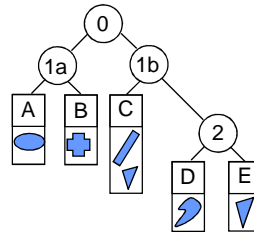
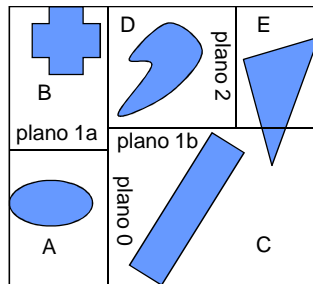




Subdivisões espaciais



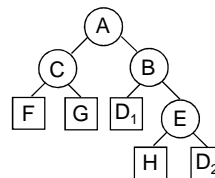
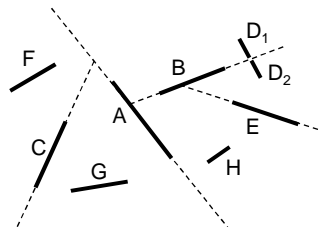
- Árvores BSP (*Binary Space Partitioning*)
 - Podem ser definidas por planos de partição alinhados aos eixos (*axis-aligned*) ou alinhados aos planos das primitivas (*polygon-aligned*).
- *Axis-aligned*:



Subdivisões espaciais



- Árvores BSP (*Binary Space Partitioning*)
 - Podem ser definidas por planos de partição alinhados aos eixos (*axis-aligned*) ou alinhados aos planos das primitivas (*polygon-aligned*).
- *Polygon-aligned*:





Subdivisões espaciais



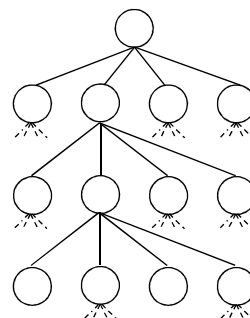
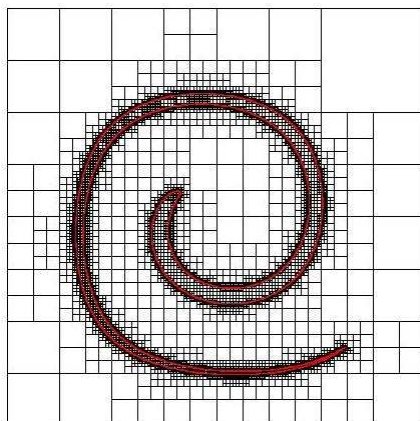
- *Quadtree, octree*:
 - Similar à árvore BSP com planos de partição alinhados aos eixos, porém não produz uma árvore binária.
 - Caso 2D ou 2D $\frac{1}{2}$: *Quadtree*, 4 filhos por nó.
 - Caso 3D: *Octree*, 8 filhos por nó.
 - **Particionamento regular**
 - Consultas podem se tornar mais eficientes.



Subdivisões espaciais



- Exemplo de uma *quadtree*:

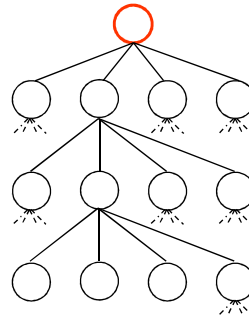
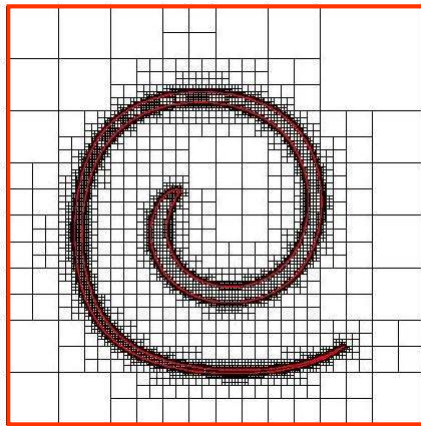




Subdivisões espaciais



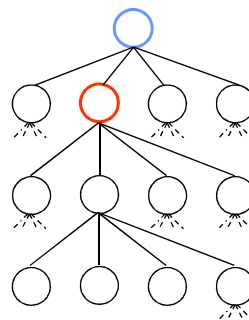
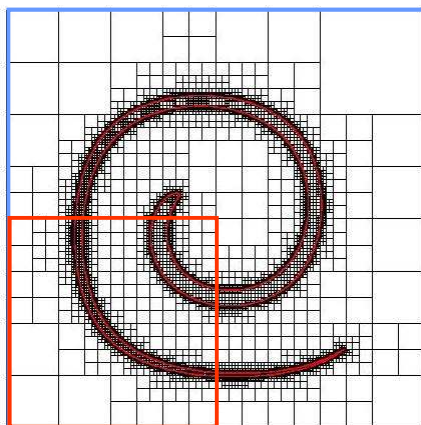
- Exemplo de uma *quadtree*:



Subdivisões espaciais



- Exemplo de uma *quadtree*:

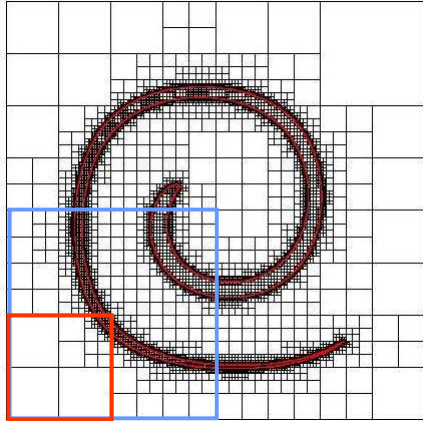
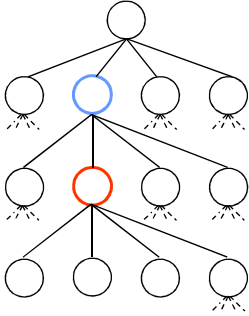


FEUC

Subdivisões espaciais

UNICAMP

- Exemplo de uma *quadtree*:

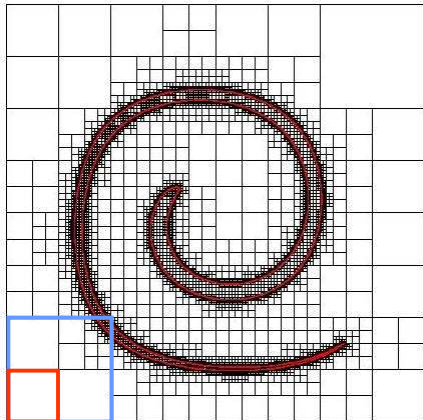
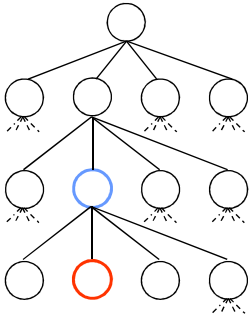



FEUC

Subdivisões espaciais

UNICAMP

- Exemplo de uma *quadtree*:

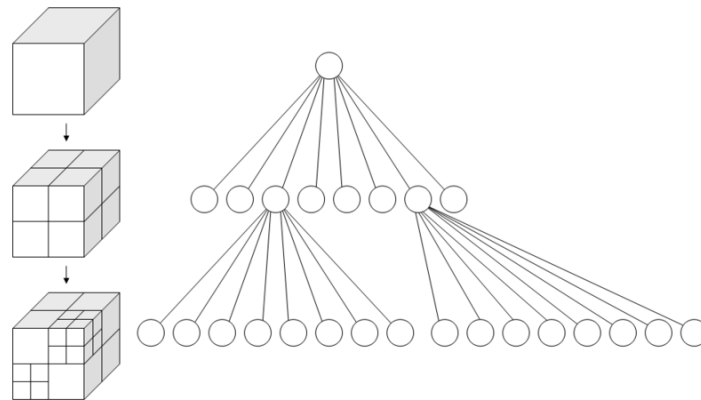





Subdivisões espaciais



- Exemplo de uma *octree*:



Backface culling



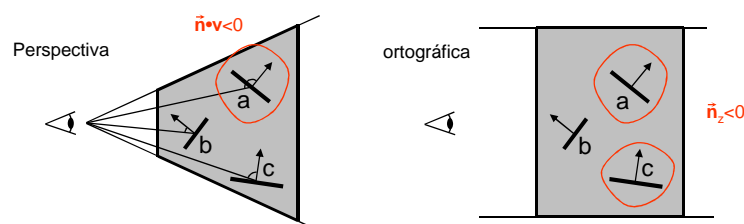
- Em objetos sólidos, os lados de cada faceta podem ser classificados em lado de dentro e lado de fora.
- Os lados são definidos pela direção do vetor normal segundo uma convenção adotada pela aplicação.
 - Em geral, o lado de fora é o lado para onde o vetor normal está apontando.
 - Os vetores normais de todas as faces devem seguir a mesma convenção em todo o modelo. Para isso, a ordem de definição dos vértices de cada triângulo deve ser ou no sentido horário (*clockwise*) ou no sentido anti-horário (*counterclockwise*).



Backface culling



- *Backface culling* é baseado na observação de que, em sólidos, faces cujo ângulo entre seu vetor normal (\vec{n}) e o vetor entre o observador até um ponto da face (\vec{v}) é maior que $\pi/2$ radianos, estão escondidas por faces da frente.
 - Em resumo, testar se $\vec{n} \cdot \vec{v} < 0$.
 - Em projeções ortográficas, basta verificar se $\vec{n}_z < 0$.



Backface culling



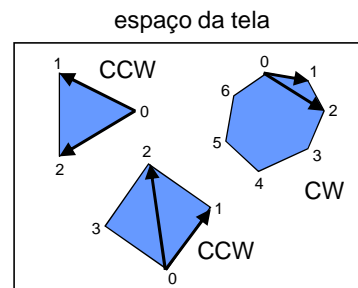
- As faces escondidas não contribuem para a formação da imagem final e podem ser removidas da cena para o atual ponto de vista.
 - Em geral, cerca de 50% das faces são removidas.
- Com exceção de sólidos convexos, não se sabe se as faces restantes estão ou não visíveis.
 - Em objetos convexos, as faces restantes com certeza estão visíveis se não houver oclusão por outros objetos.



Backface culling



- Atualmente é implementado em todas as placas de vídeo.
 - Teste é realizado no espaço da tela.
- Exemplo de estados do OpenGL relacionados a *backface culling*:
 - glEnable (GL_CULL_FACE);
 - glCullFace (GL_BACK);
 - glFrontFace (GL_CCW);



Clustered backface culling



- *Backface culling* é um algoritmo $O(n)$.
 - É possível melhorar esse desempenho?
- Em *clustered backface culling*, podemos decidir se um conjunto de polígonos pode ser classificado como escondido ou não em um único teste.
 - Complexidade sub-linear no número de faces.
- Baseado no conceito de “cone de normais” (*normal cone*).
 - Shirman, Leon A., and Salim S. Abi-Ezzi, “The Cone of Normals Technique for Fast Processing of Curved Patches,” *Proceedings of Eurographics '93*, vol. 12, no. 3, pp. 261-272, 1993.

FEEC

Clustered backface culling

UNICAMP

- Exemplo usando cone de normais:

The diagram illustrates the concept of clustered backface culling using cones of normals. It shows a blue polyhedron with normal vectors, a cone of normals with angle α , a cone of normals containing the polyhedron, and a diagram of two cones (front and back) with angle α and distance f from the origin to the front cone's surface.

FEEC

Clustered backface culling

UNICAMP

- Dado um observador \mathbf{e} , então \mathbf{e} está no cone da frente se:

$$\vec{n} \cdot (\mathbf{e} - \mathbf{f} / \|\mathbf{e} - \mathbf{f}\|) \geq \cos(\pi/2 - \alpha) = \sin(\alpha).$$

- Todas as faces entre \mathbf{b} e \mathbf{f} formam um ângulo menor que 90 graus com o vetor entre o observador e cada face.

The diagram illustrates the concept of clustered backface culling using cones of normals. It shows a blue polyhedron with normal vectors, a cone of normals with angle α , a cone of normals containing the polyhedron, and a diagram of two cones (front and back) with angle α and distance f from the origin to the front cone's surface.



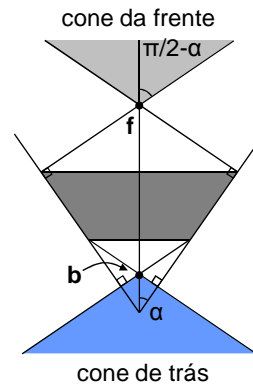
Clustered backface culling



- Dado um observador e , então e está no cone de trás se:

$$-\hat{n} \cdot (\mathbf{e} - \mathbf{b}) / \|\mathbf{e} - \mathbf{b}\| \geq \cos(\pi/2 - \alpha) = \sin(\alpha).$$

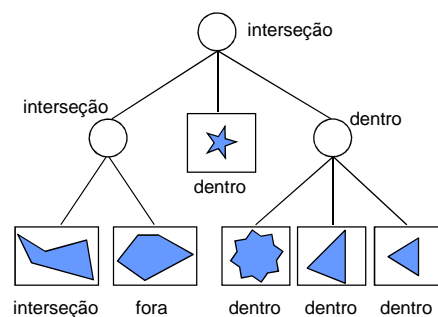
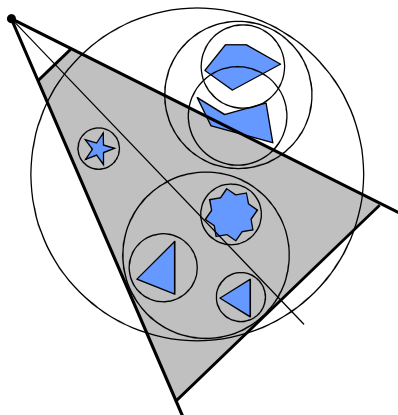
- Todas as faces entre \mathbf{b} e \mathbf{f} formam um ângulo maior que 90 graus com o vetor entre o observador e cada face.



View frustum culling



- Somente primitivas totalmente ou parcialmente contidas no volume de visão precisam ser enviadas à placa de vídeo.



FEEC **UNICAMP**

View frustum culling

- View frustum culling usando uma árvore BSP:

FEEC **UNICAMP**

View frustum culling

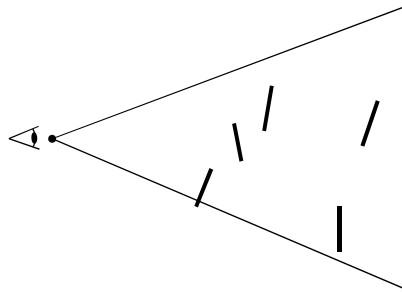
- View frustum culling usando uma quadtree:



Occlusion culling



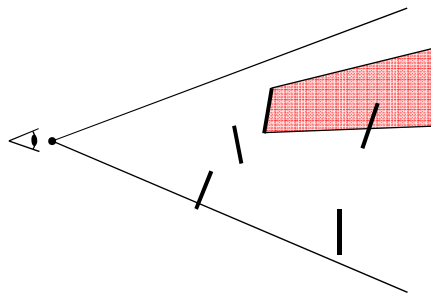
- Dado um ponto de vista, cada objeto visível produz um volume de oclusão, equivalente a um volume de sombra se o observador é considerado uma fonte de luz.
- Descartam-se os objetos totalmente contidos nos volumes de oclusão.



Occlusion culling



- Dado um ponto de vista, cada objeto visível produz um volume de oclusão, equivalente a um volume de sombra se o observador é considerado uma fonte de luz.
- Descartam-se os objetos totalmente contidos nos volumes de oclusão.

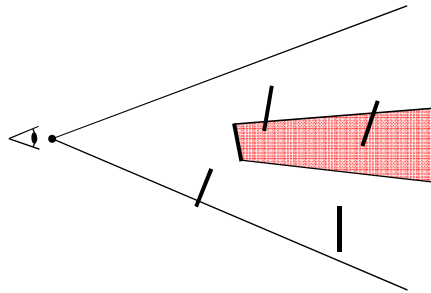




Occlusion culling



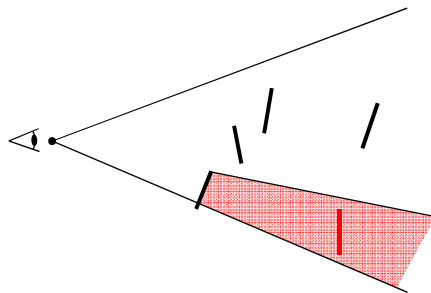
- Dado um ponto de vista, cada objeto visível produz um volume de oclusão, equivalente a um volume de sombra se o observador é considerado uma fonte de luz.
- Descartam-se os objetos totalmente contidos nos volumes de oclusão.



Occlusion culling



- Dado um ponto de vista, cada objeto visível produz um volume de oclusão, equivalente a um volume de sombra se o observador é considerado uma fonte de luz.
- Descartam-se os objetos totalmente contidos nos volumes de oclusão.

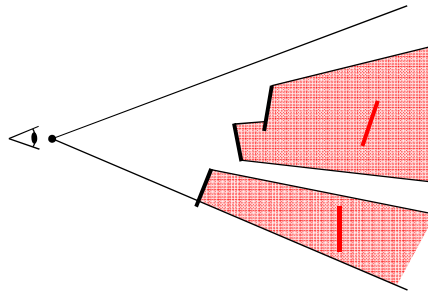




Occlusion culling



- Dado um ponto de vista, cada objeto visível produz um volume de oclusão, equivalente a um volume de sombra se o observador é considerado uma fonte de luz.
- Descartam-se os objetos totalmente contidos nos volumes de oclusão, ou totalmente contidos na união desses volumes.



Algoritmos de portais



- *Portal culling* é um método de *occlusion culling* para modelos arquitetônicos.
 - Teller, Seth J., and Carlo H. Séquin, "Visibility Preprocessing For Interactive Walkthroughs," *Computer Graphics (SIGGRAPH 94 Proceedings)*, pp. 443-450, July 1994.
- Em ambiente interiores, as paredes funcionam como grandes oclusores da cena.
- Cena é dividida em células e portais.
 - Células são as salas.
 - Portais são portas e janelas que conectam as salas.



Algoritmos de portais



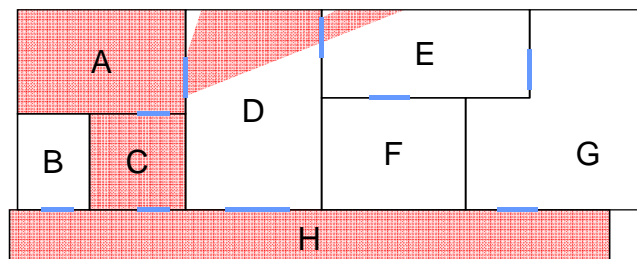
- Divisão da cena em células e portais é geralmente feita à mão, por quem projetou o cenário.
- Pré-processamento:
 - Cada objeto de uma célula, incluindo as próprias paredes, são armazenados em uma estrutura de dados associada à célula.
 - Informações de células adjacentes e seus portais são armazenadas em um grafo de adjacência.
 - Pode-se pré-computar um PVS para cada célula.



Algoritmos de portais



- Exemplo:
 - PVS da célula C contém todos os objetos que intersectam a região vermelha.





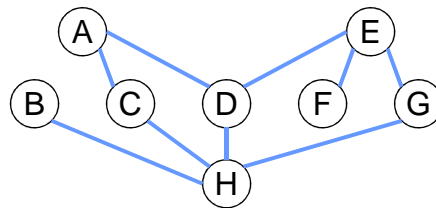
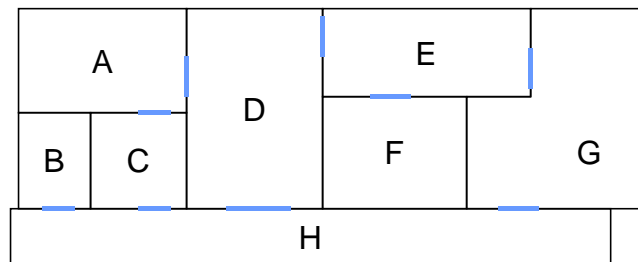
Algoritmos de portais

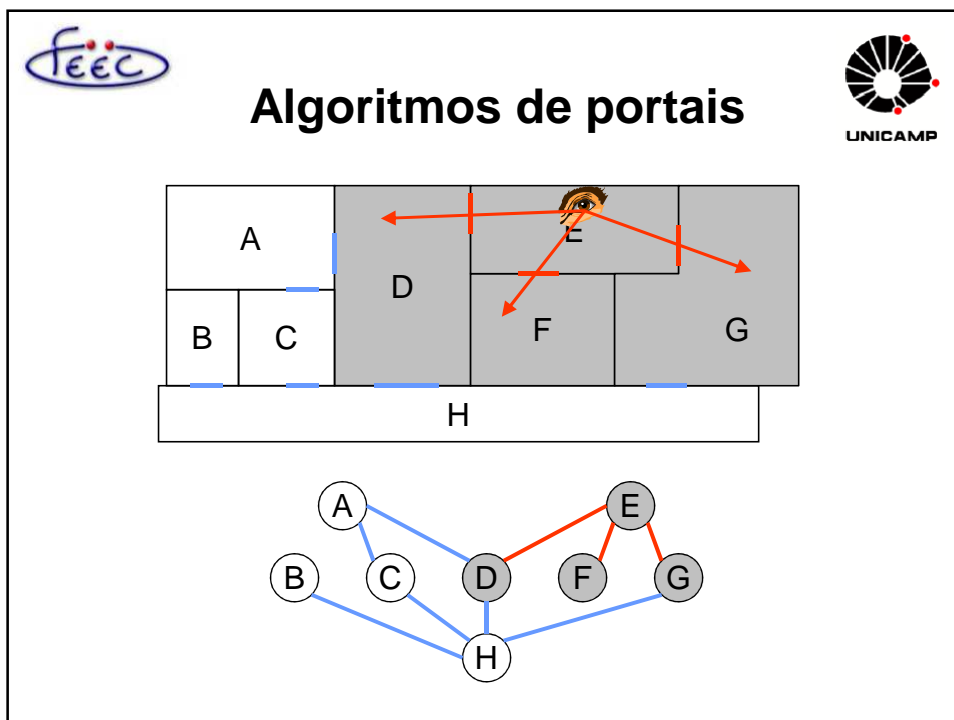
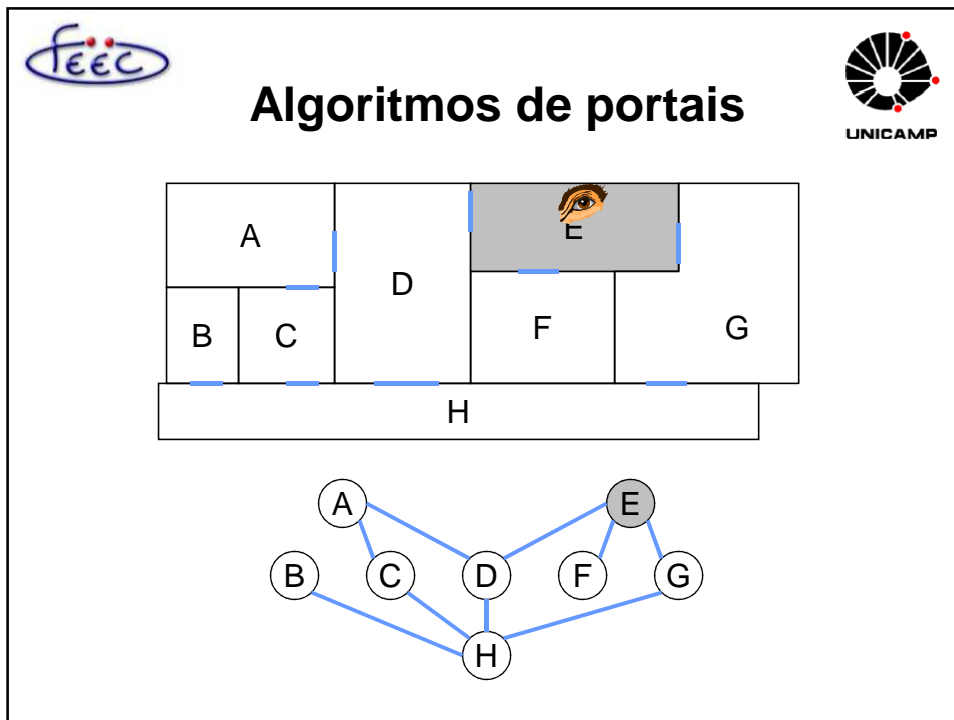


- Em tempo de execução (uma estratégia):
 1. Determina-se qual célula contém o observador.
 2. O PVS para tal célula é enviado à placa de vídeo.
- Em tempo de execução (outra estratégia):
 1. Determina-se qual célula contém o observador.
 2. O conteúdo da célula é enviado à placa de vídeo.
 3. Para cada célula adjacente no grafo de adjacências:
 - Existe uma linha de visão entre a célula atual e a célula adjacente? Se sim, volte para 2 e aplique o procedimento de forma recursiva para a célula adjacente.



Algoritmos de portais





FEEC

Algoritmos de portais

UNICAMP

The maze diagram shows a layout with rooms A, B, C, D, E, F, G, and H. Room H is at the bottom. Rooms A, B, C, D, E, F, and G are arranged in a grid-like structure. Red lines indicate a path starting from room E, moving left to room A. Blue lines indicate the rest of the maze structure. An eye icon is positioned in room E, looking towards room A.

The graph representation shows nodes A, B, C, D, E, F, G, and H. Red edges connect A and D, and D and E. Blue edges connect B-C, C-D, D-F, F-G, B-H, C-H, D-H, and H-G.

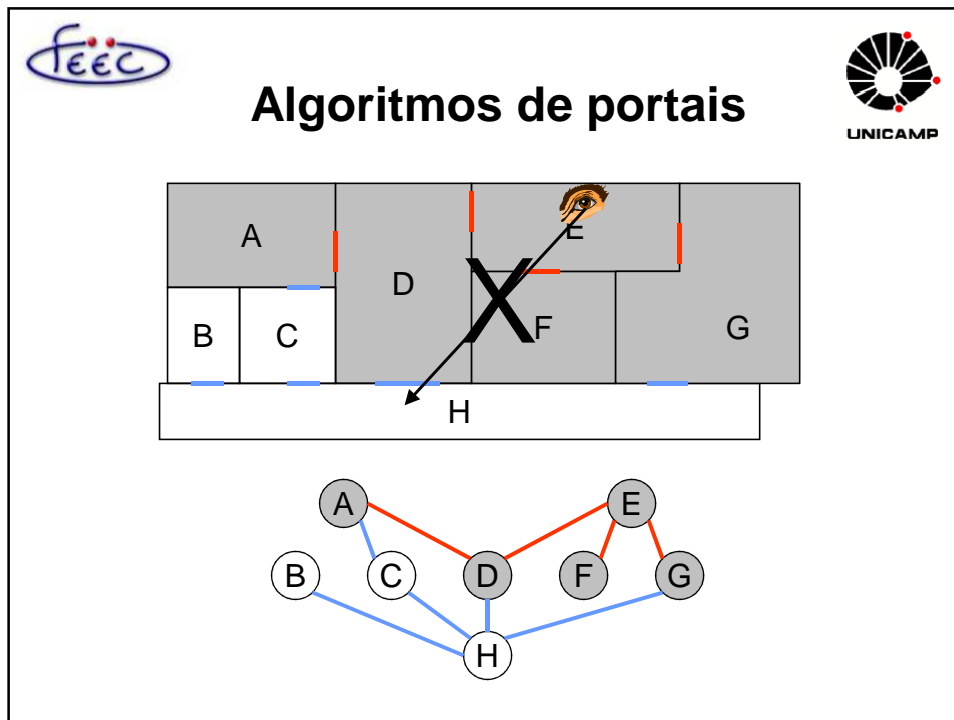

FEEC

Algoritmos de portais


UNICAMP

The maze diagram shows a layout with rooms A, B, C, D, E, F, G, and H. Room H is at the bottom. Rooms A, B, C, D, E, F, and G are arranged in a grid-like structure. A question mark is in room D. A black arrow points from an eye icon in room E to the question mark in room D. Blue lines indicate the rest of the maze structure.

The graph representation shows nodes A, B, C, D, E, F, G, and H. Red edges connect A and D, and D and E. Blue edges connect B-C, C-D, D-F, F-G, B-H, C-H, D-H, and H-G. A question mark is on the edge between D and H.

Algoritmos de portais



- PVS pode ser computado em tempo real.
 - Luebke, David P., and Chris Georges, "Portals and Mirrors: Simple, Fast Evaluation of Potentially Visible Sets," *Proceedings 1995 Symposium on Interactive 3D Graphics*, pp. 105-106, April 1995.
- Algoritmo:
 1. Localize a célula **V** onde está o observador.
 2. Inicialize uma região limitante **P** ao retângulo da tela.
 3. Desenhe a geometria da célula **V** usando *view frustum culling* para o volume definido pelo observador e o retângulo **P** (inicialmente a tela toda).



Algoritmos de portais



- Algoritmo (continuação):
 4. Para cada portal de **V**, projete o portal na tela e ache o AABB correspondente da projeção. Calcule a interseção lógica de **P** e o AABB.
 5. Para cada interseção:
 - Se for vazia, descarte a célula conectada a **V** através desse portal.
 - Se não for vazia, então a célula conectada a **V** através desse portal pode estar visível. Desse modo, volte ao passo 3 com **P** sendo o resultado da interseção.